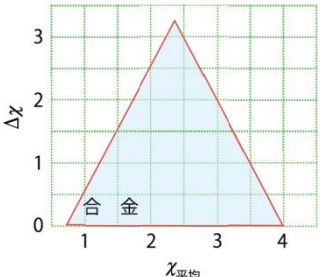
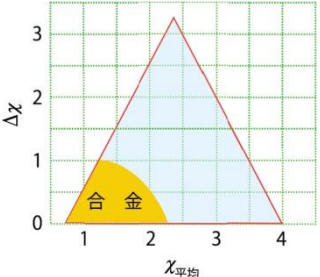


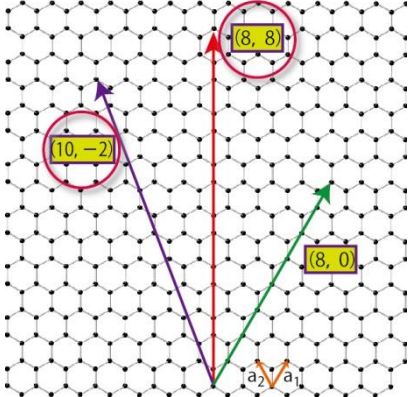
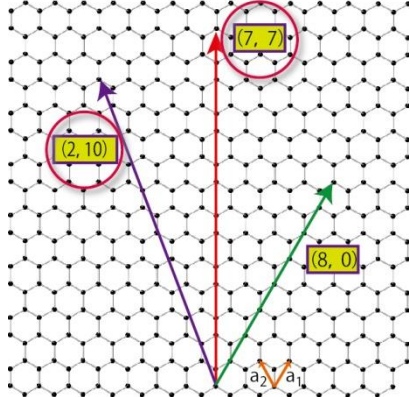
シュライバー・アトキンス 無機化学 (上下) 第6版

正誤表

章	頁	位置	誤	正	修正済みの刷
1	6	表1・1	質量/ $m_u^{\dagger 1}$	質量/ $u^{\dagger 1}$	2刷以降
1	6	表1・1	電荷/ $e^{\dagger 2}$	(電荷/ e) $^{\dagger 2}$	2刷
1	6	表1・1脚注†1	質量は原子質量定数 m_u で表してある. $1 m_u \approx 1.6605 \times 10^{-27}$ kg.	質量は統一原子質量単位 u で表してある. $1 u \approx 1.6605 \times 10^{-27}$ kg.	2刷
1	7	BOX 1・3 右段下から5行目	過テクネチウム酸イオン $[\text{}^{99m}\text{TcO}_4]^{2-}$	過テクネチウム酸イオン $[\text{}^{99m}\text{TcO}_4]^-$	2刷
1	8	例題1・1解2行目	$1/\lambda = 1513\ 888\ \text{cm}^{-1}$	$1/\lambda = 1513\ 888\ \text{m}^{-1}$	2刷
1	14	図1・11説明2行目	動径分布関数 $r^2 R^2$,	動径分布関数 $r^2 R^2$.	2刷
1	27	メモ枠の下の行	高速	光速	2刷
1	34	式(1・12)右辺第2項	Z_{eff}^2	Z_{eff}	2刷
1	36	練習問題1・3 2行目	順位	準位	2刷
1	36	練習問題1・19 2~4行目	しかしながら, Crの第二イオン化エネルギーがMnのそれより <small>小さい</small> .	しかしながら, Crの第二イオン化エネルギーがMnのそれより <small>大きい</small> .	
1	37	練習問題1・29 2行目	イオン半径	原子半径	2刷
1	42	分子9	$\begin{array}{ccc} \text{:}\ddot{\text{O}}\text{--}\overset{\ominus}{\text{S}}\text{--}\ddot{\text{O}}\text{:}^{2-} & \longleftrightarrow & \text{:}\ddot{\text{O}}\text{--}\overset{\ominus}{\text{S}}\text{--}\ddot{\text{O}}\text{:}^{2-} \\ \text{:}\ddot{\text{O}}\text{:} & & \text{:}\ddot{\text{O}}\text{:} \\ & & \text{9 SO}_3^{2-} \end{array}$	$\begin{array}{ccc} \text{:}\ddot{\text{O}}\text{--}\overset{\ominus}{\text{S}}\text{--}\ddot{\text{O}}\text{:}^{2-} & \longleftrightarrow & \text{:}\ddot{\text{O}}\text{--}\overset{\ominus}{\text{S}}\text{--}\ddot{\text{O}}\text{:}^{2-} \\ \text{:}\ddot{\text{O}}\text{:} & & \text{:}\ddot{\text{O}}\text{:} \\ & & \text{9 SO}_3^{2-} \end{array}$	
2	43	問題2・3	(b) ICl_2^- 分子	(b) ICl_2^+ 分子	2刷
2	67	表2.8 SとHの値	368	338	2刷

3	87	§3・8 欄外	<固溶体の訳注を挿入> † 訳注:一つの結晶中に本来は結晶を構成しない異種原子やイオンが溶込んでいる状態を固溶体という. 124 ページも参照.		2 刷	
3	87	図3・25		合金の位置が表 されていない.		2 刷
3	110	BOX3・5 右段 4 行目の式	$V = e^2/4\pi \epsilon_0 \times \dots$	$V = -e^2/4\pi \epsilon_0 \times \dots$	2 刷	
4	172	上から三つ目の化学式	$\text{NH}_4\text{Cl}(\text{sol}) + \text{NaNH}_2(\text{sol}) \rightarrow \text{NaCl}(\text{sol}) + \text{NH}_3(\text{l})$	$\text{NH}_4\text{Cl}(\text{sol}) + \text{NaNH}_2(\text{sol}) \rightarrow \text{NaCl}(\text{sol}) + 2\text{NH}_3(\text{l})$		
4	179	練習問題 4・24	(a) 最も強いルイス酸 BF_3 , BCl_3 , BBr_3 , BeCl_2 , BCl_3 , $\text{B}(n\text{-Bu})_3$, $\text{B}(t\text{-Bu})_3$ (b) $\text{B}(\text{CH}_3)_3$ に対して塩基性が強いもの Me_3N , Et_3N , $2\text{-CH}_3\text{C}_5\text{H}_4\text{N}$, $4\text{-CH}_3\text{C}_5\text{H}_4\text{N}$	(a) 最も強いルイス酸: BF_3 , BCl_3 , BBr_3 ; BeCl_2 , BCl_3 ; $\text{B}(n\text{-Bu})_3$, $\text{B}(t\text{-Bu})_3$ (b) $\text{B}(\text{CH}_3)_3$ に対して塩基性が強いもの: Me_3N , Et_3N ; $2\text{-CH}_3\text{C}_5\text{H}_4\text{N}$, $4\text{-CH}_3\text{C}_5\text{H}_4\text{N}$		
5	203	実例二つ目の化学式	$\text{ClO}^-(\text{aq}) + \text{H}_2\text{O}(\text{l}) + e^- \rightarrow 1/2 \text{Cl}_2(\text{aq}) + 2\text{OH}^-(\text{aq})$	$\text{ClO}^-(\text{aq}) + \text{H}_2\text{O}(\text{l}) + e^- \rightarrow 1/2 \text{Cl}_2(\text{g}) + 2\text{OH}^-(\text{aq})$		
6	226	図6・9 の図説明	図6・9 分子の点群を決めるための枝分かれ図. 各 分岐点の記号は, 対象 操作 の記号である [訳注: Yは 分岐の対象 操作 がある (yes), Nはなし (no) を表す].	図6・9 分子の点群を決めるための枝分かれ図. 各 分岐点の記号は, 対象 要素 の記号である [訳注: Yは 分岐の対象 要素 がある (yes), Nはなし (no) を表す].		
7	269	§7・14 一つ目の化学式下	$\Delta_r H^\circ = 229.4 \text{ kJ mol}^{-1}$ $\Delta_r S^\circ = 113.0 \text{ J K}^{-1}\text{mol}^{-1}$	$\Delta_r H^\circ = -29.4 \text{ kJ mol}^{-1}$ $\Delta_r S^\circ = +13.0 \text{ J K}^{-1}\text{mol}^{-1}$	2 刷	
7	269	§7・14 二つ目の化学式下	$\Delta_r H^\circ = 229.8 \text{ kJ mol}^{-1}$ $\Delta_r S^\circ = 25.2 \text{ J K}^{-1}\text{mol}^{-1}$	$\Delta_r H^\circ = -29.8 \text{ kJ mol}^{-1}$ $\Delta_r S^\circ = -5.2 \text{ J K}^{-1}\text{mol}^{-1}$	2 刷	
8	302	下から 5 行目	電子衝突電離	電子衝撃イオン化	2 刷	
8	310 312	図8・52 の図説明, 問題8・14 3 行目	ボルタモグラフ	ボルタモグラム	2 刷	

11	374	図 11・1	<p>表 11・1 と値が異なっている。</p>		2 刷
11	374	図 11・2	<p>表 11・1 と値が異なっている。</p>		2 刷
11	387	例題 11・5 解 12 行目の化学式	$\text{LiNO}_3(\text{s}) \rightarrow \text{Li}_2\text{O}(\text{s}) + \text{NO}_2(\text{g}) + 1/4\text{O}_2(\text{g})$	$\text{LiNO}_3(\text{s}) \rightarrow 1/2\text{Li}_2\text{O}(\text{s}) + \text{NO}_2(\text{g}) + 1/4\text{O}_2(\text{g})$	2 刷
11	389	左段 4 行目	$\text{NO}_2\text{SO}_4 \cdot 10\text{H}_2\text{O}$	$\text{Na}_2\text{SO}_4 \cdot 10\text{H}_2\text{O}$	
11	392	分子モデル 6, 7 より 上 2 行目	三中心二電子 (3c, 2e)	四中心二電子 (4c, 2e)	2 刷
12	396	下から 15 行目	化学式 M_2C	化学式 MC_2	2 刷
16	512	分子モデル 10	<p>10 Se_4^{2+}</p>	<p>10 Se_4^{2+}</p>	2 刷

21	661	§ 21・6 欄外	<p><式 (21・12) の訳注を挿入></p> <p>† 訳注: <i>Inorganic Chemistry</i>, 4, 265 (1965) では, $\Delta(\Delta^{\ddagger}G)$ と $\Delta(\Delta_rG)$ が比例し, その係数が 1 であると記載されている. したがって, 式(21・12)は正しくは $\Delta(\Delta^{\ddagger}G) = 1 \times \Delta(\Delta_rG)$ である. 図 21・11 では, $\text{Co} \cdots \text{X}$ から $\text{Co} \cdots \text{X}'$ になったときの活性化ギブズエネルギーの差が, $\text{CoY} + \text{X}$ と $\text{CoY} + \text{X}'$ の標準反応エネルギー差に相当する.</p>		2 刷
21	670	実例 1 行目	Ru ^{III}	Ru ^{II}	2 刷
24	837	図 24・80 (a) と図説明 3 行目	 <p>ベクトルが異なっている.</p> <p>(8, 8), (8, 0), (10, -2) ベクトルに沿って…</p>	 <p>(7, 7), (8, 0), (2, 10) ベクトルに沿って…</p>	2 刷
26	917	例題 26・5 2~3 行目	しかし, 単純な Fe-ポルフィリン錯体のようなタンパク質中では O_2 と比べてその結合はかなり弱い.	しかし, 単純な Fe-ポルフィリン錯体と比べるとミオグロビンなどのタンパク質中では, O_2 と比べて CO の結合はかなり弱い.	2 刷
	1014	第 4 章 問題 4・24 の解答	4・24 (a) 三臭化ホウ素. BBr_3 より BF_3 と BCl_3 の π 結合のほうがホウ素のアクセプター軌道に強く関与している. (b) この場合, より小さなルイス塩基 NMe_3 がより強くなる.	4・24 (a) BBr_3 ; BCl_3 : $\text{B}(n\text{-Bu})_3$ (b) NMe_3 ; $4\text{-CH}_3\text{C}_5\text{H}_4\text{N}$	2 刷
	1015	第 5 章 問題 5・9 の解答	5・9 (a) Pu^{IV} は水溶液中で Pu^{III} と Pu^{V} に不均化する. (b) Pu^{V} は Pu^{VI} と Pu^{IV} に不均化しない.	5・9 (a) Pu^{IV} は水溶液中で Pu^{III} と Pu^{V} に不均化しない. (b) Pu^{V} は Pu^{VI} と Pu^{IV} に不均化する.	2 刷